

# Восстановление контура на основе вариационного принципа

Ю.Л.Сачков

Институт Программных Систем РАН

Переславль-Залесский 152020, Россия

E-mail: sachkov@sys.botik.ru

28 апреля 2009 г.

## Аннотация

Описан подход к решению задачи о восстановлении контура на основе следующего вариационного принципа: контур  $(x(t), y(t))$  должен минимизировать длину в пространстве  $(x, y, \theta)$ , где  $\theta$  — угол наклона кривой  $(x(t), y(t))$ .

## 1 Постановка задачи и метод решения

Рассмотрим гладкую кривую на плоскости

$$\begin{aligned} AB &= \{(x(t), y(t)) \mid t \in [a, b]\}, \\ A &= (x(a), y(a)), \quad B = (x(b), y(b)). \end{aligned}$$

Предположим, что часть этой кривой

$$\begin{aligned} CD &= \{(x(t), y(t)) \mid t \in [c, d]\}, \\ C &= (x(c), y(c)), \quad D = (x(d), y(d)), \\ a &< c < d < b, \end{aligned}$$

скрыта от наблюдения или повреждена, см. Рис. 1. Требуется восстановить кривую  $CD$  некоторым естественным образом.

В работах [1] [2] рассматривается следующий способ восстановления кривой  $CD$ . Построим касательную  $T_C$  к кривой  $AC$  в точке  $C$  и касательную  $T_D$  в точке  $D$ , см. Рис. 2. Обозначим через  $\theta_c, \theta_d$  углы наклона

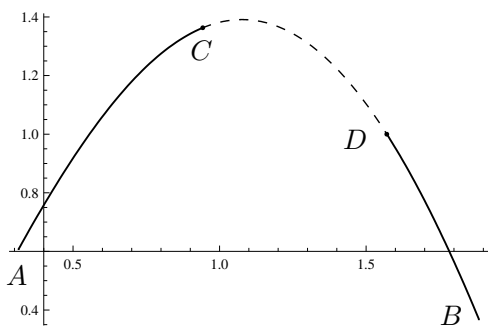


Рис. 1: Исходная кривая  $AB$  с поврежденной дугой  $CD$

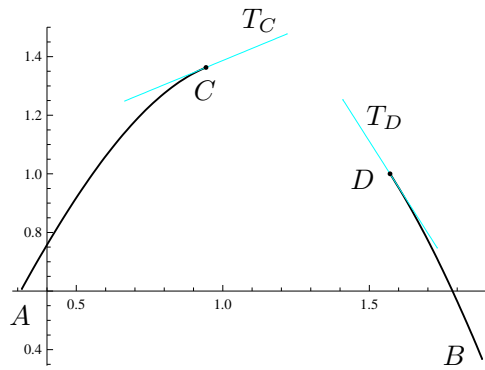


Рис. 2: Граничные условия для восстановления дуги  $CD$

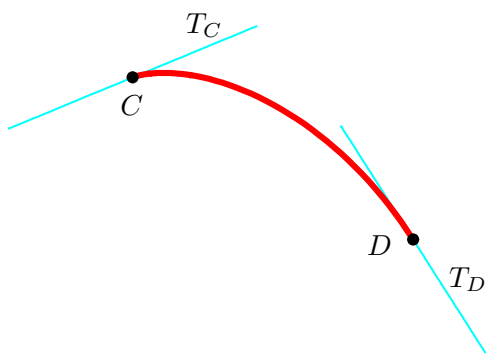


Рис. 3: Новая кривая  $CD$

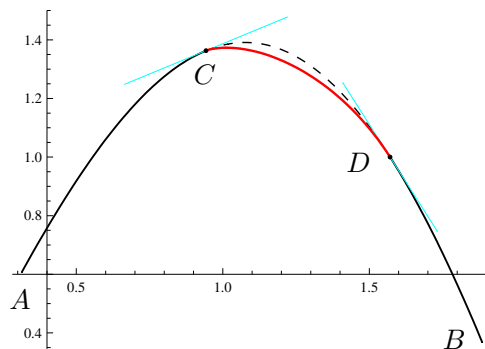


Рис. 4: Исходная кривая  $AB$  с поврежденной и новой дугами  $CD$

этих касательных:

$$\operatorname{tg}(\theta_c) = \left. \frac{dy}{dx} \right|_C = \frac{\dot{y}(c)}{\dot{x}(c)}, \quad \operatorname{tg}(\theta_d) = \left. \frac{dy}{dx} \right|_D = \frac{\dot{y}(d)}{\dot{x}(d)}.$$

Искомая кривая

$$\widetilde{CD} = \{(\tilde{x}(t), \tilde{y}(t)) \mid t \in [c, d]\}$$

должна выходить из точки  $C$  с углом наклона  $\theta_c$ :

$$(\tilde{x}(c), \tilde{y}(c)) = C, \quad \left. \frac{d\tilde{y}}{d\tilde{x}} \right|_C = \frac{\dot{\tilde{y}}(c)}{\dot{\tilde{x}}(c)} = \operatorname{tg}(\theta_c), \quad (1)$$

приходить в точку  $D$  с углом наклона  $\theta_d$ :

$$(\tilde{x}(d), \tilde{y}(d)) = D, \quad \left. \frac{d\tilde{y}}{d\tilde{x}} \right|_D = \frac{\dot{\tilde{y}}(d)}{\dot{\tilde{x}}(d)} = \operatorname{tg}(\theta_d), \quad (2)$$

и иметь кратчайшую длину в пространстве  $(x, y, \theta)$ :

$$\int_c^d \sqrt{\dot{\tilde{x}}^2 + \dot{\tilde{y}}^2 + \dot{\tilde{\theta}}^2} dt = \min, \quad (3)$$

см. Рис. 3. Условия (1), (2) означают гладкое сопряжение новой кривой  $\widetilde{CD}$  с известными участками  $AC$  и  $DB$  исходной кривой. Условие (3) формализует условие естественности новой кривой  $\widetilde{CD}$ : при ее поиске штрафуются большие отклонения как по координатам  $(x, y)$ , так и по углу наклона  $\theta$ . Исходная и восстановленная кривая показаны на Рис. 4.

Задача (1), (2), (3) формализуется как следующая задача оптимального управления:

$$\begin{aligned} \dot{x} &= u \cos \theta, \\ \dot{y} &= u \sin \theta, \\ \dot{\theta} &= v, \\ (x(c), y(c)) &= C, \quad \theta(c) = \theta_c, \\ (x(d), y(d)) &= D, \quad \theta(d) = \theta_d, \\ \int_c^d \sqrt{\dot{x}^2 + \dot{y}^2 + \dot{\theta}^2} dt &= \int_c^d \sqrt{u^2 + v^2} dt \rightarrow \min. \end{aligned}$$

В работах [3], [4] эта задача была сведена к решению систем алгебраических уравнений в эллиптических функциях. В системе Mathematica [5] написана программа для решения этих систем уравнений.

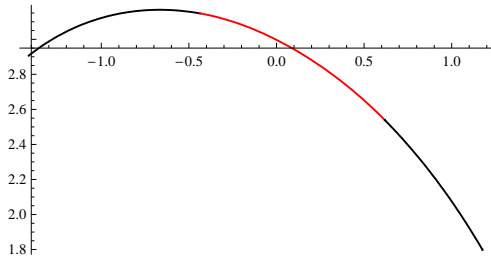


Рис. 5: Восстановленная кривая

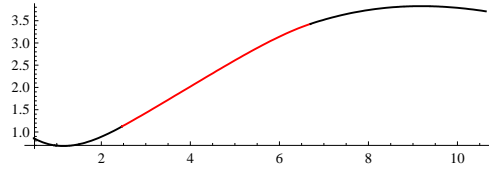


Рис. 6: Восстановленная кривая

Еще два примера кривых, восстановленных по описанному методу, приведены на рис. 5, 6.

В разделе 2 показаны решения этой задачи для некоторых явно заданных граничных условий, а в разделе 3 — решения для случайно выбранных граничных условий. В большинстве случаев решение дается гладкой кривой  $(x(t), y(t))$ , однако иногда она имеет точки возврата. Такие решения показаны в разделе 4, эти случаи требуют дополнительного исследования.

**Вопрос:** насколько описанный подход и полученные решения применимы в задачах восстановления изображений (отдельных контуров и их семейств) ?

## 2 Решения с заданными граничными условиями



Рис. 7:  $(x_1, y_1, \theta_1) = (2, 0, 0)$



Рис. 8:  $(x_1, y_1, \theta_1) = (2, 0, \pi/8)$



Рис. 9:  $(x_1, y_1, \theta_1) = (2, 0, \pi/4)$



Рис. 10:  $(x_1, y_1, \theta_1) = (2, 0, 5\pi/16)$



Рис. 11:  $(x_1, y_1, \theta_1) = (0, 2, 0)$ ; по-  
вернута на  $\pi/2$



Рис. 12:  $(x_1, y_1, \theta_1) = (0, 2, \pi/4)$ ;  
повернута на  $\pi/2$

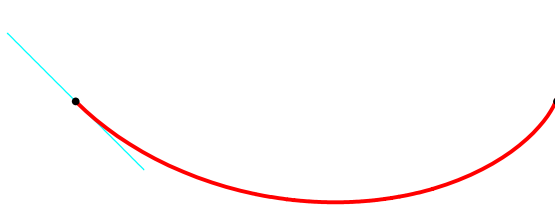


Рис. 13:  $(x_1, y_1, \theta_1) = (0, 1.5, \pi/4)$ ;  
повернута на  $\pi/2$



Рис. 14:  $(x_1, y_1, \theta_1) = (0, 1.5, \pi/8)$ ;  
повернута на  $\pi/2$

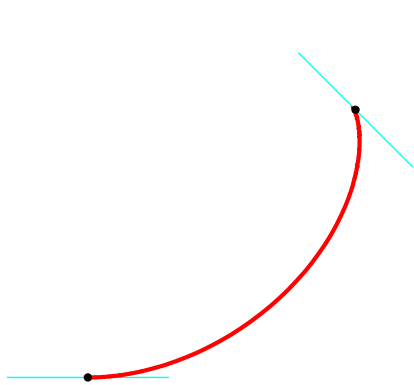


Рис. 15:  $(x_1, y_1, \theta_1) = (1, 1, 3\pi/4)$

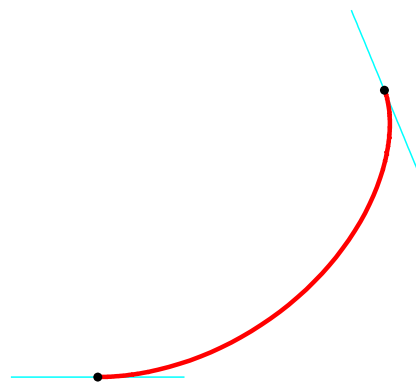


Рис. 16:  $(x_1, y_1, \theta_1) = (1, 1, 5\pi/8)$

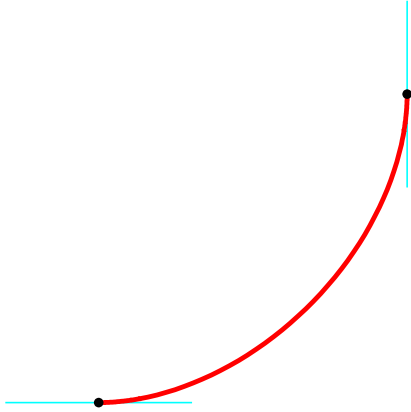


Рис. 17:  $(x_1, y_1, \theta_1) = (1, 1, \pi/2)$

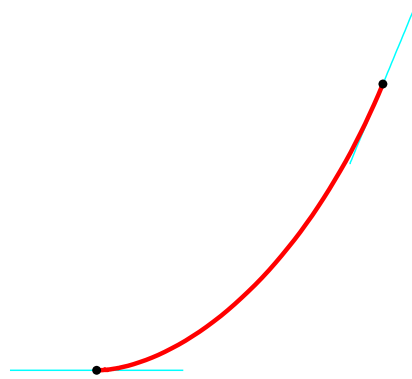


Рис. 18:  $(x_1, y_1, \theta_1) = (1, 1, 3\pi/8)$

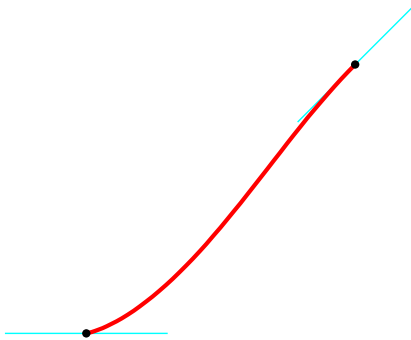


Рис. 19:  $(x_1, y_1, \theta_1) = (1, 1, \pi/4)$

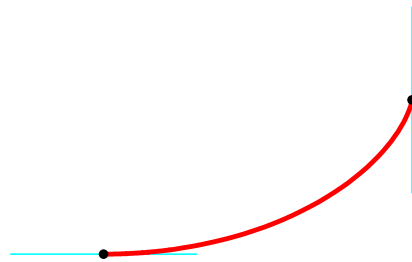


Рис. 20:  $(x_1, y_1, \theta_1) = (1, 0.5, \pi/2)$

### 3 Решения со случайными граничными условиями

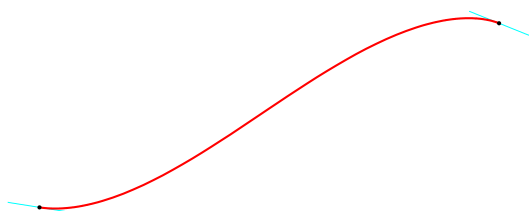


Рис. 21:

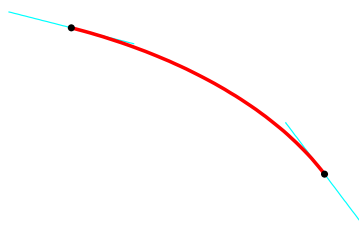


Рис. 22:

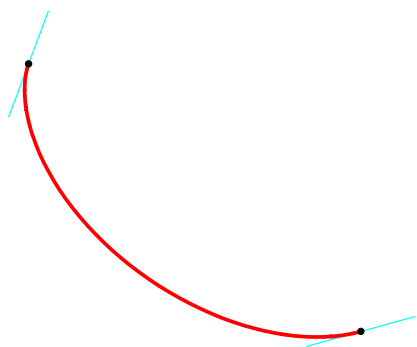


Рис. 23:

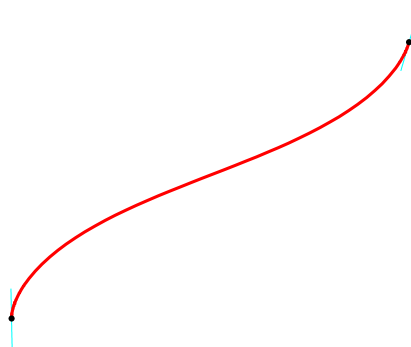


Рис. 24:



Рис. 25:

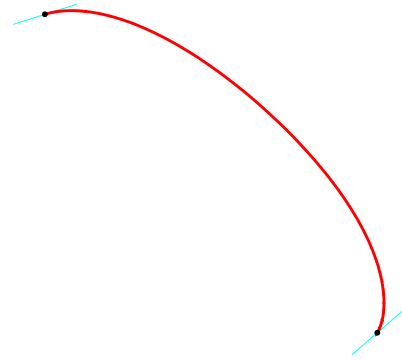


Рис. 26:

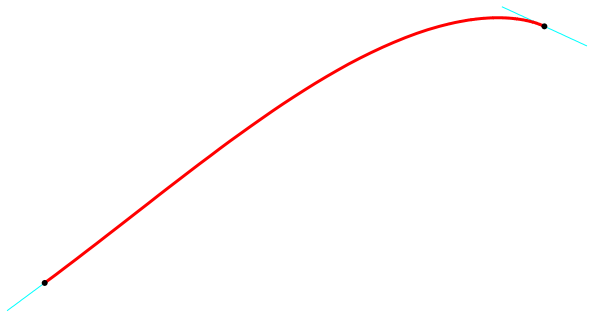


Рис. 27:

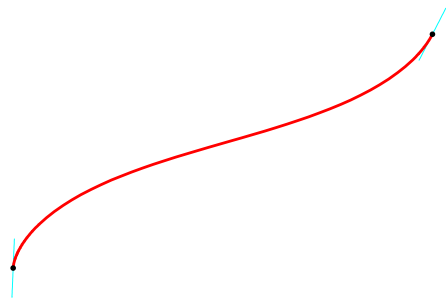


Рис. 28:

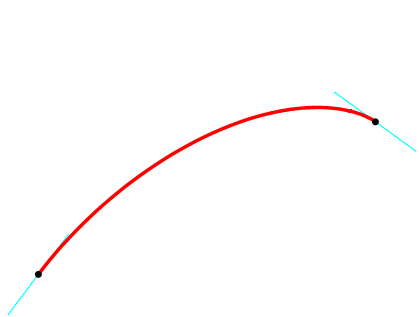


Рис. 29:

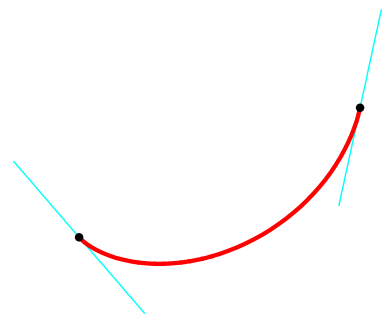


Рис. 30:

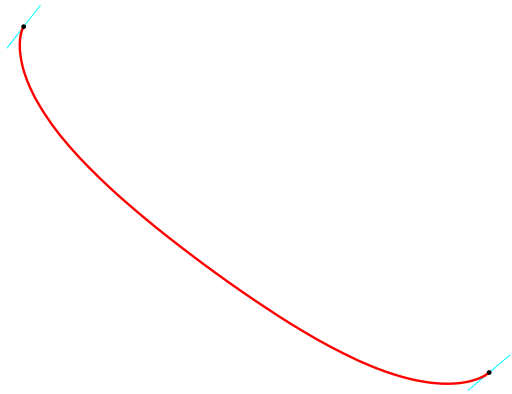


Рис. 31:

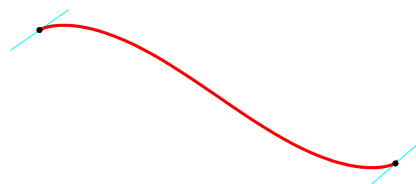


Рис. 32:

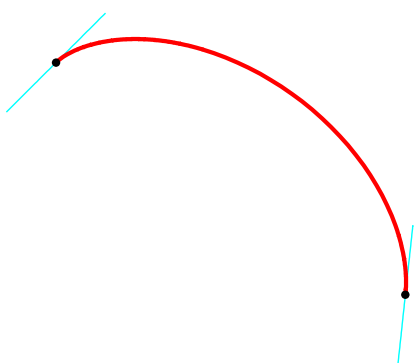


Рис. 33:

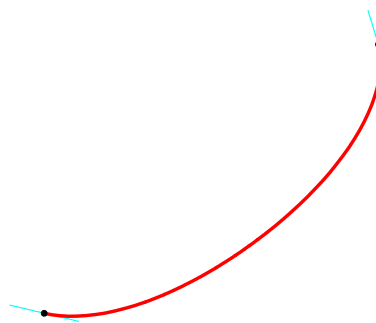


Рис. 34:

## 4 Негладкие решения

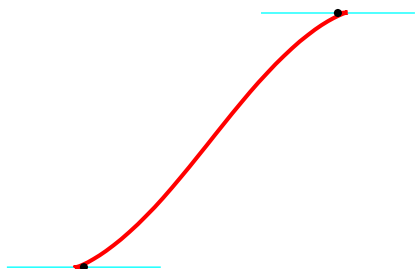


Рис. 35:  $(x_1, y_1, \theta_1) = (1, 1, 0)$



Рис. 36:  $(x_1, y_1, \theta_1) = (2, 0, \pi/2)$

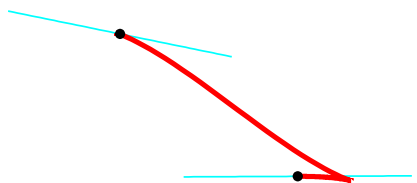


Рис. 37:

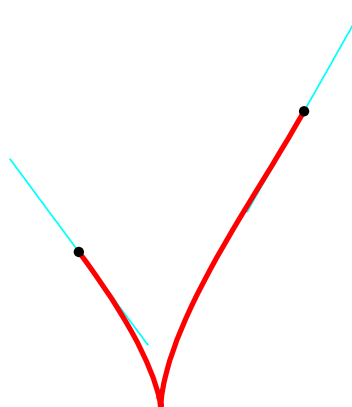


Рис. 38:

## Список литературы

- [1] J. Petitot, The neurogeometry of pinwheels as a sub-Riemannian contact structure, *J. Physiology - Paris* 97 (2003), 265–309.
- [2] G. Citti, A. Sarti, A cortical based model of perceptual completion in the roto-translation space, *J. Math. Imaging Vis.* 24: 307–326, 2006.
- [3] I. Moiseev, Yu. L. Sachkov, Maxwell strata in sub-Riemannian problem on the group of motions of a plane, *ESAIM: COCV*, accepted, available at arXiv:0807.4731v1, 29 July 2008.
- [4] Yu. L. Sachkov, Cut time and optimal synthesis in sub-Riemannian problem on the group of motions of a plane, <http://arxiv.org/abs/0903.0727v1>, направлена на публикацию.
- [5] S. Wolfram, *Mathematica: a system for doing mathematics by computer*, Addison-Wesley, Reading, MA 1991.